



Pertemuan ke-12  
Semester Ganjil 2020/2021

# Tekanan Tanah Lateral

Agus Setyo Muntohar

## Learning Outcomes

LO No.	Weighing
LO-1	X
LO-5	XXX
LO-8	X



UMY

UNIVERSITAS  
MUHAMMADIYAH  
YOGYAKARTA

Unggal & Islami

TEKNIK SIPIL

# Topik Tekanan Tanah Lateral

- Pendahuluan
- Tekanan Tanah *At Rest*
- Teori Rankine
- Teori Coulomb
- Diskusi Umum Terhadap Teori Tekanan Tanah Lateral
  - Tekanan tanah dan perpindahan
  - Perbandingan Teori Rankine dan Coulomb
  - Realibilitas Teori Tekanan Tanah Lateral



UMY

UNIVERSITAS  
MUHAMMADIYAH  
YOGYAKARTA

Unggul & Islami

TEKNIK SIPIL

# Topik Tekanan Tanah Lateral

- Tekanan Tanah Lateral Untuk Desain
  - Tanah Kohesif
  - Tanah Non-Kohesif
  - Permukaan Tanah Miring
  - Tambahan Beban di Permukaan Tanah
  - Pengaruh Rembesan
  - Pengaruh Gempa



# Pengantar

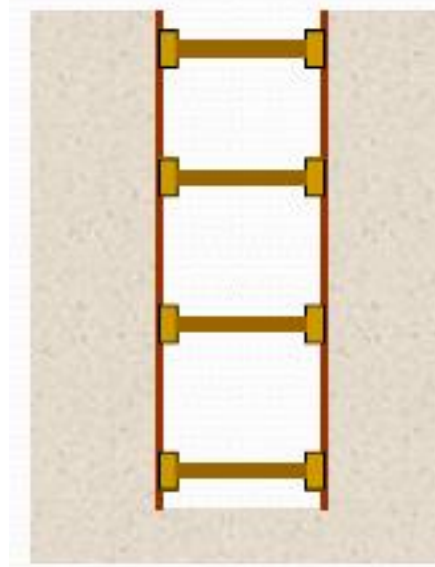
Agus S. Muntohar

# Penahan Lateral

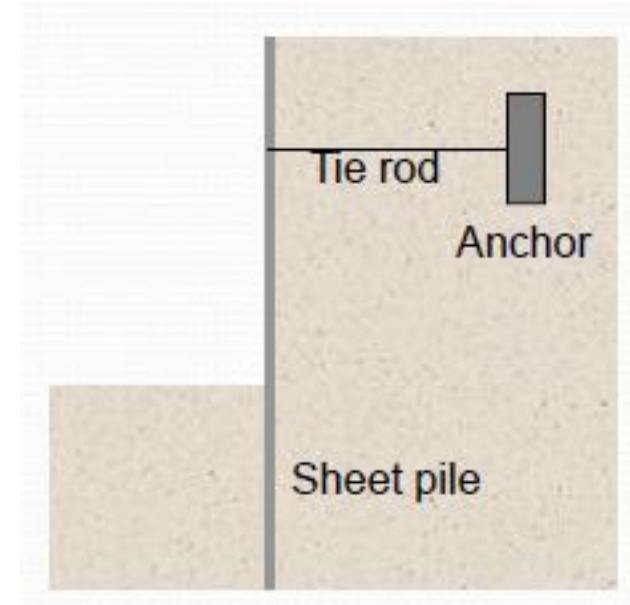
- Dalam pekerjaan geoteknik, seringkali dijumpai pekerjaan untuk menahan atau mencegah terjadinya pergerakan tanah lateral.



Dinding penaha  
tanah (kantilever)



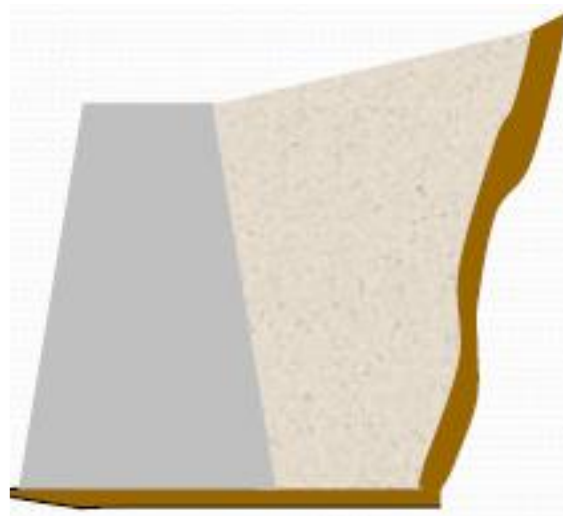
Struktur Perkuatan  
Galian



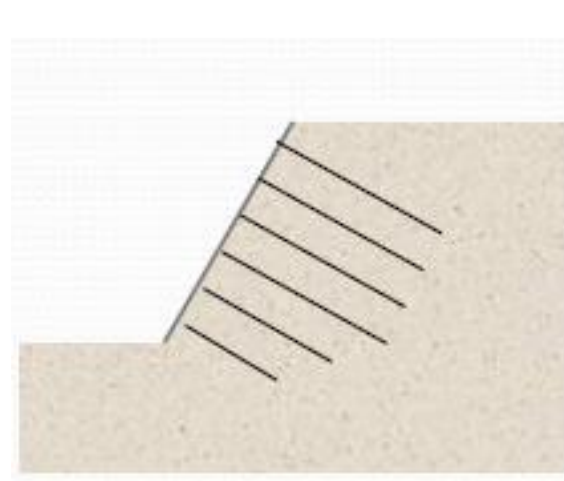
Turap dengan Sistem  
Angkur

# Penahan Lateral

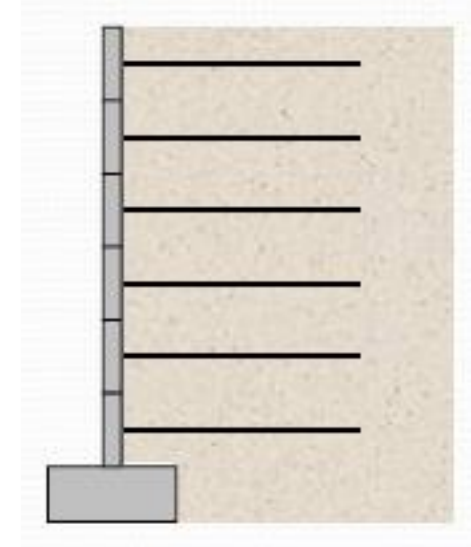
- Tekanan tanah lateral yang bekerja pada struktur penahan tanah perlu secara tepat diperkirakan untuk desain struktur.



Dinding Penahan Tanah (gravity)



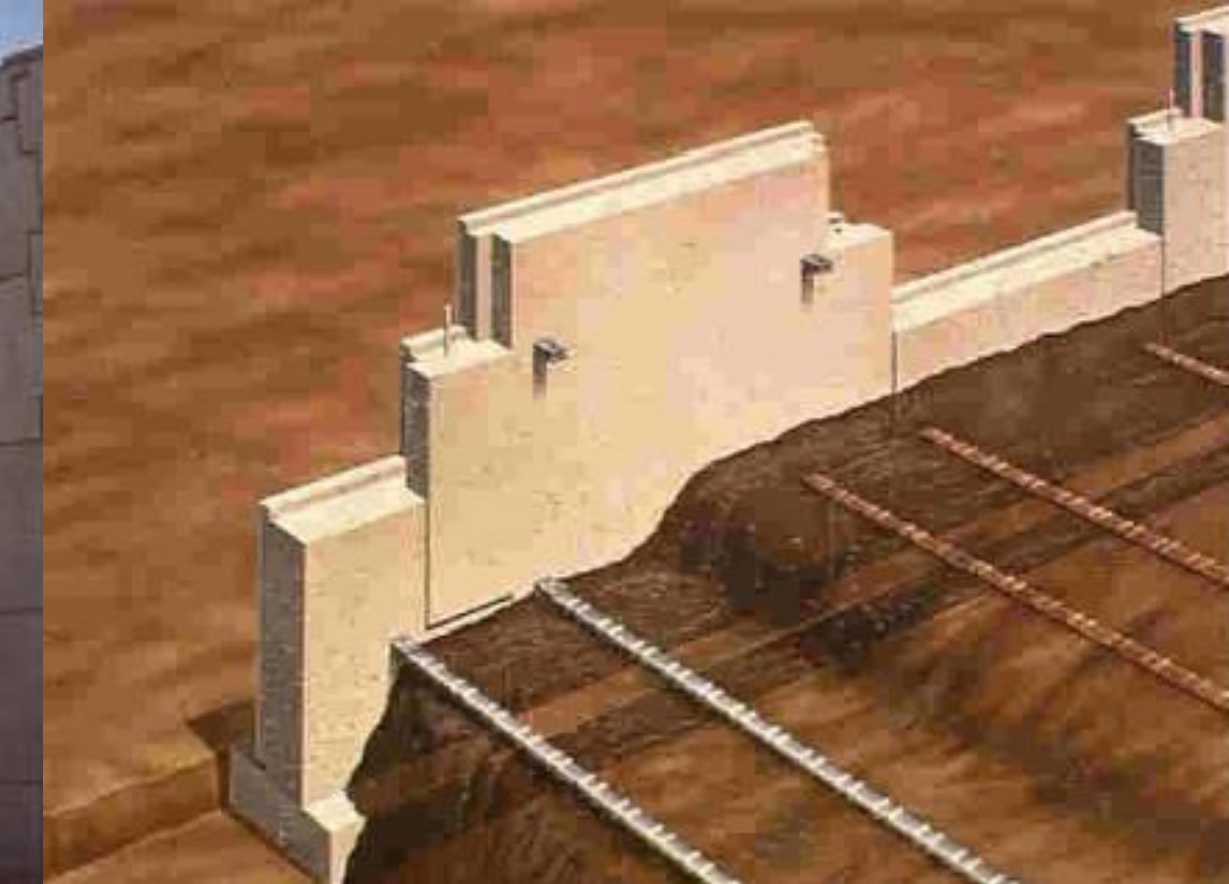
Soil nailing



Dinding Perkuatan Tanah

## Sheet piles wall





Reinforced earth wall

## Soldier pile and shocrete





**Soil nailing (installation)**

**Soil nailing (final)**

## Retaining earth wall



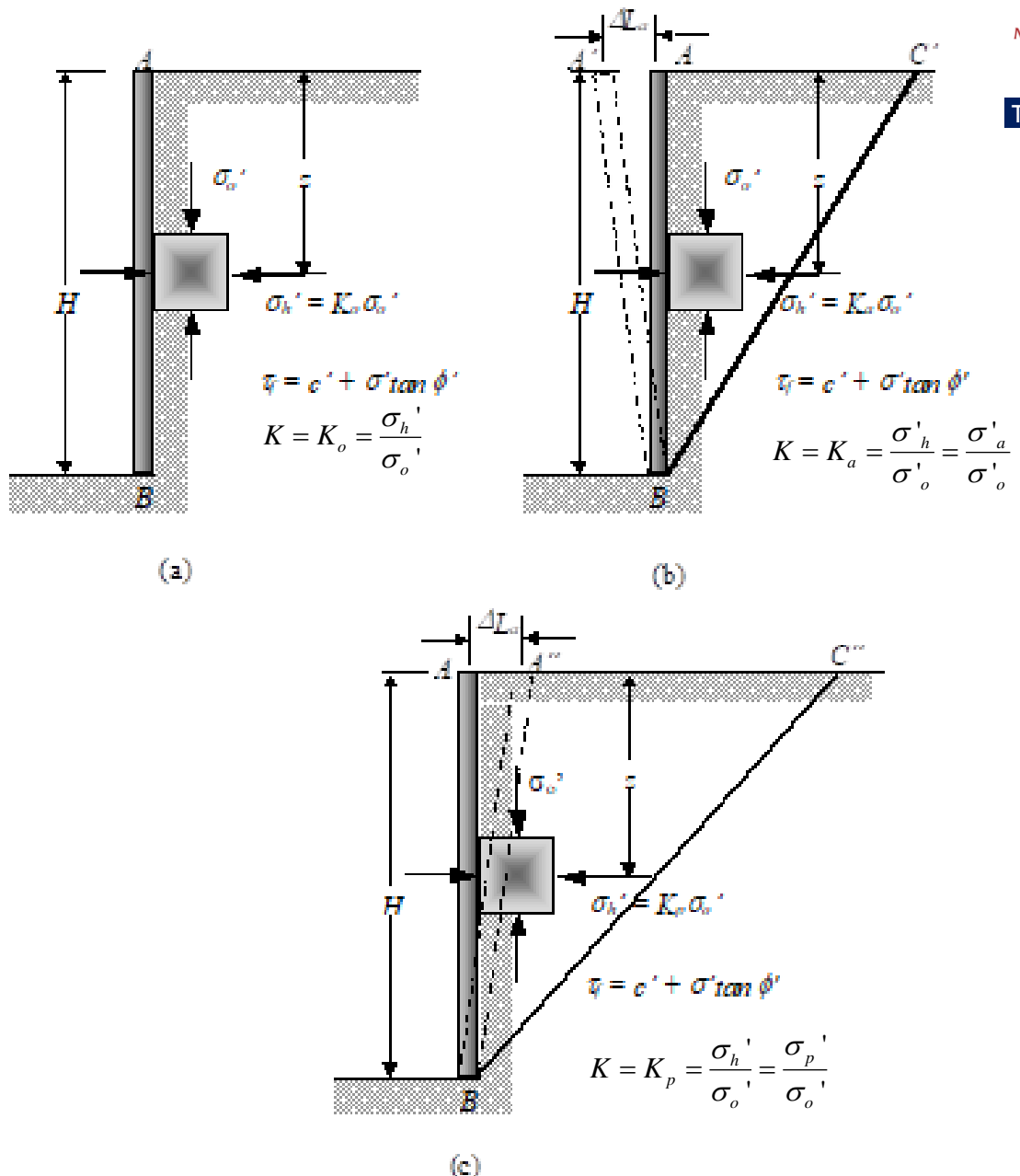


# Pendahuluan

Agus S. Muntohar

# Tekanan Tanah Lateral

- Lateral earth pressure represents pressures that are “to the side” (horizontal) rather than vertical.
- Disebabkan oleh berat sendiri tanah dan/atau beban eksternal, ada tiga kategori:
  - Tekanan tanah “at rest” (a)
  - Tekanan tanah aktif (b)
  - Tekanan tanah pasir (c)





# Tekanan tanah lateral

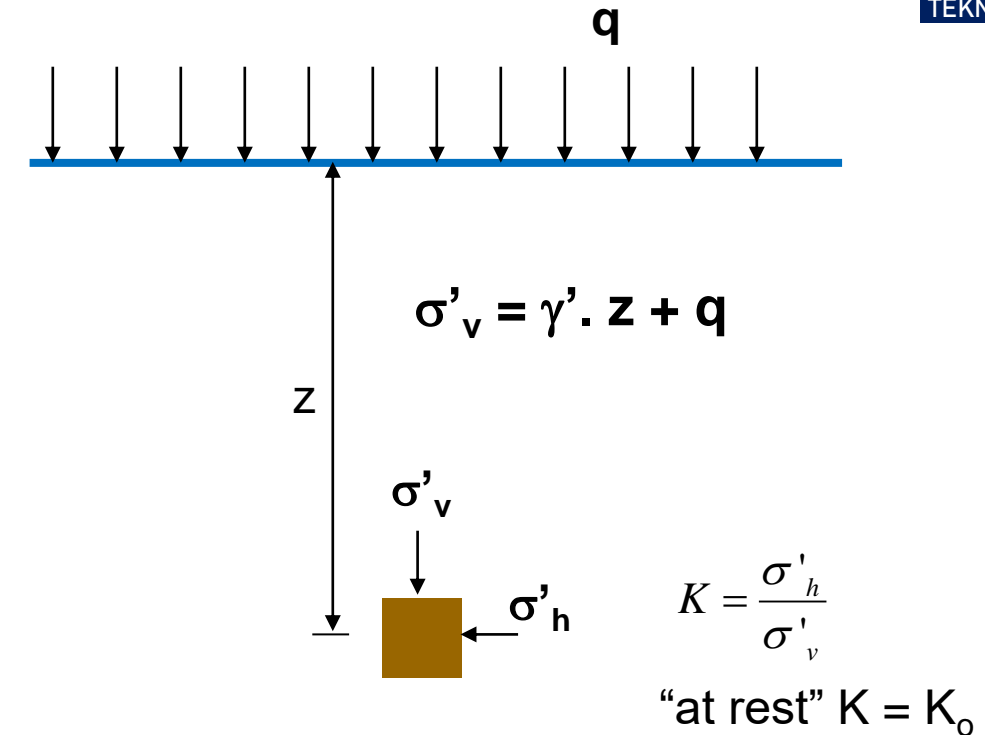
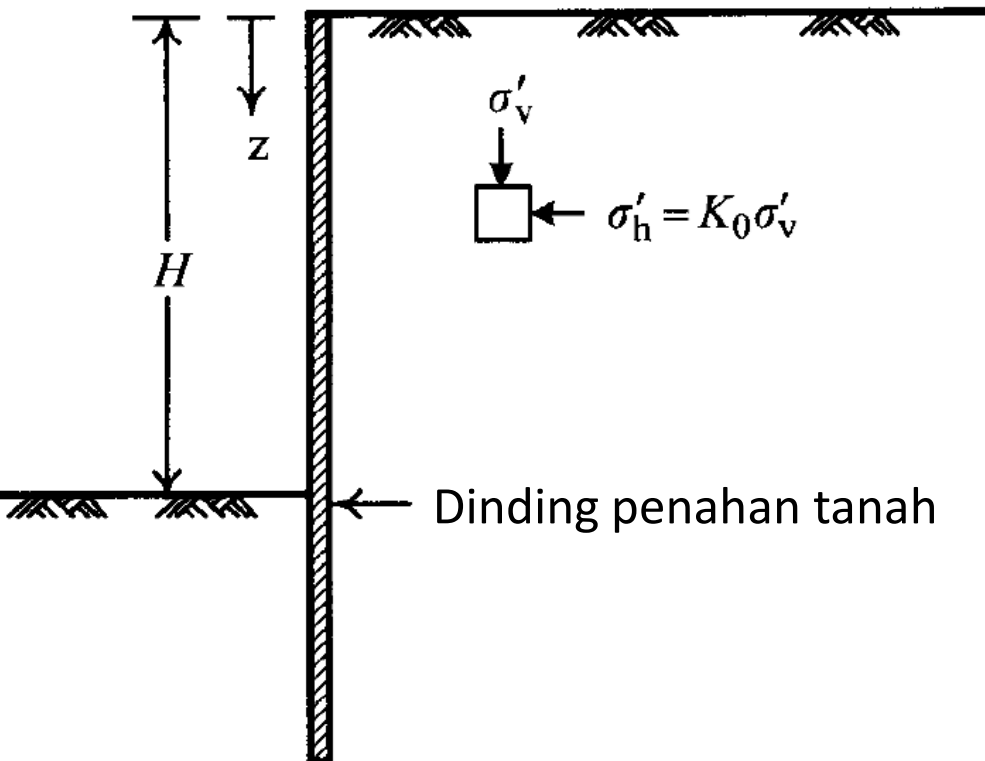
adalah fungsi dari tegangan vertikal efektif



# Tekanan Tanah Lateral “At Rest”

Agus S. Muntohar

# Tekanan Tanah Lateral “At Rest”



Jaky, Broker & Ireland  $\rightarrow K_0 = M - \sin \phi'$

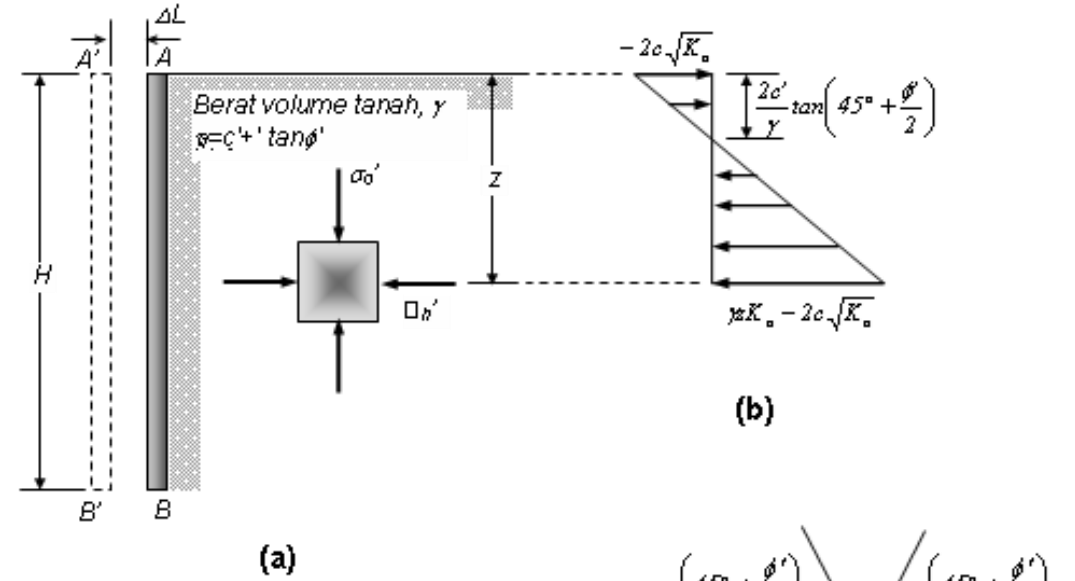
Pasir, Lempung NC :  $M = 1$

Lempung dengan OCR > 2 :  $M = 0.95$



# Teori Rankine

Agus S. Muntohar



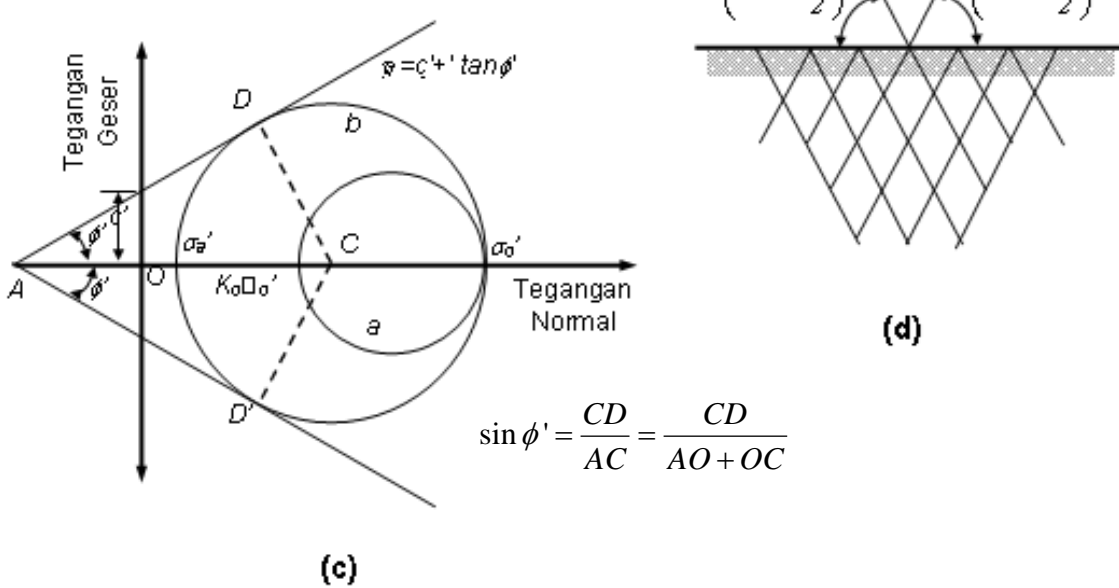
## Teori Rankine:

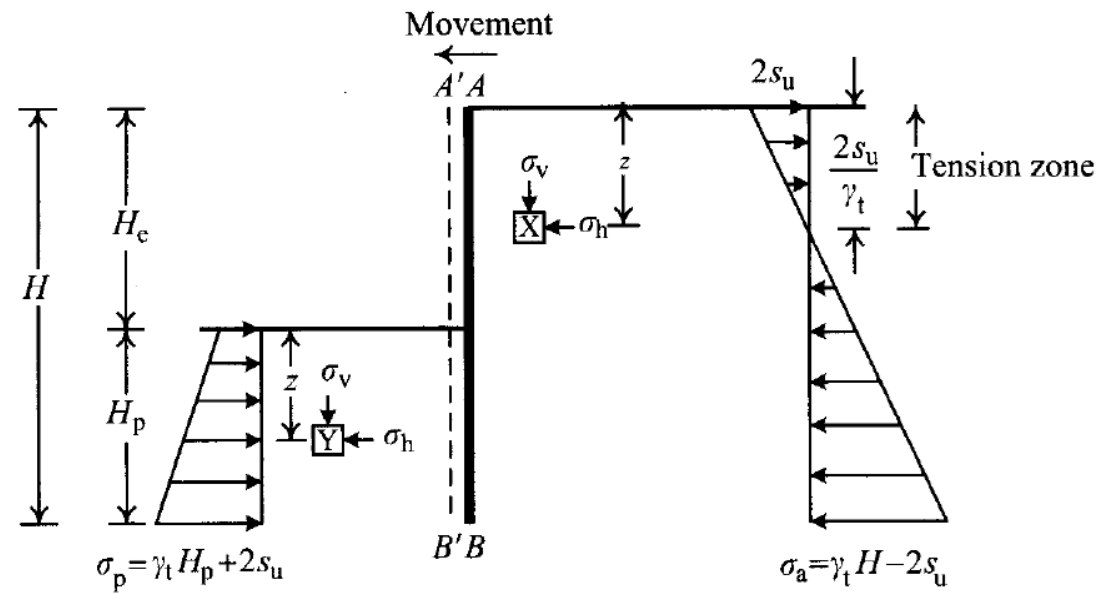
- (1) Keadaan tegangan di dalam tanah pada kondisi keseimbangan plastis.
- (2) dinding tanpa gesekan (frictionless),
- (3) kedalaman yang tak berhingga

$$\begin{aligned}\sigma_a &= \sigma'_v \left( \frac{1 - \sin \phi'}{1 + \sin \phi'} \right) - 2c' \left( \frac{\cos \phi'}{1 + \sin \phi'} \right) \\ &= \sigma'_v \tan^2 \left( 45 - \frac{\phi'}{2} \right) - 2c' \tan \left( 45 - \frac{\phi'}{2} \right) \\ &= \sigma'_v K_a - 2c' \sqrt{K_a}\end{aligned}$$

$$\begin{aligned}K_a &= \frac{\sigma'_a}{\sigma'_v} = \tan^2 \left( 45 - \frac{\phi'}{2} \right) \\ \sigma_p &= \sigma'_v \tan^2 \left( 45 + \frac{\phi'}{2} \right) + 2c' \tan \left( 45 + \frac{\phi'}{2} \right) \\ &= \sigma'_v K_p + 2c' \sqrt{K_p}\end{aligned}$$

$$K_p = \frac{\sigma'_p}{\sigma'_v} = \tan^2 \left( 45 + \frac{\phi'}{2} \right)$$



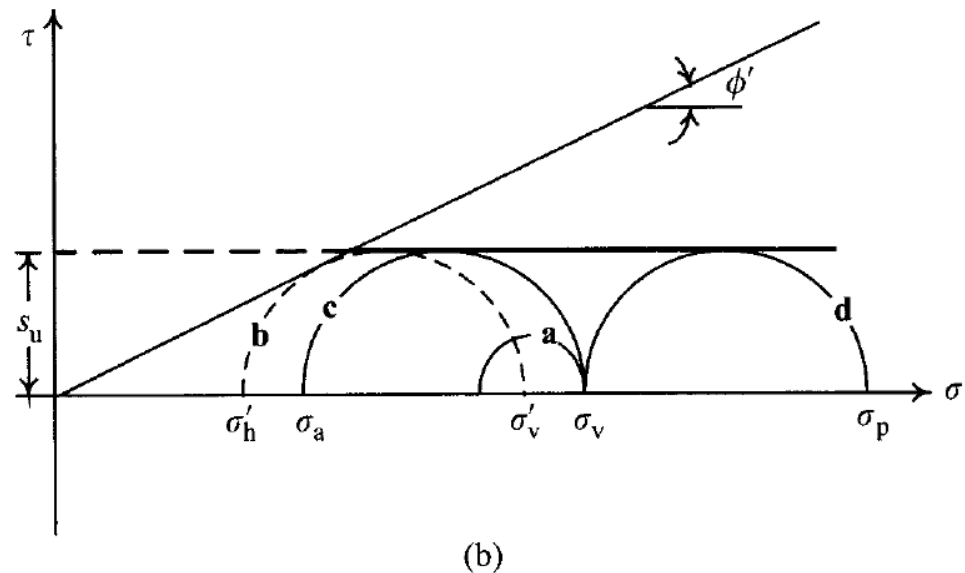


(a)

Tekanan tanah aktif dan pasid pada kondisi tak-terdrainase :

$$\sigma_a = \sigma_v - 2s_u$$

$$\sigma_p = \sigma_v + 2s_u$$

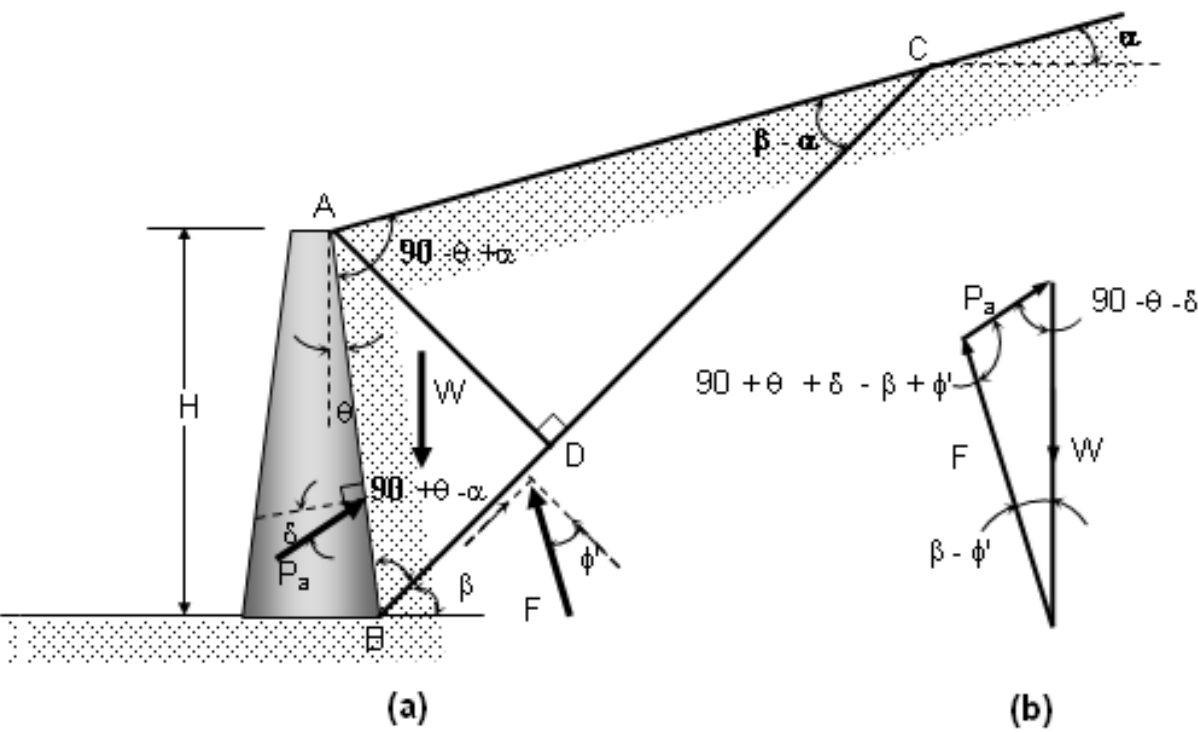


(b)



# Teori Coulomb

Agus S. Muntohar



Tekanan tanah aktif Coulomb (a) blok runtuh, (b) resultan gaya

$$K_a = \frac{\cos^2(\phi' - \theta)}{\cos^2 \theta \cos(\delta + \theta) \left[ 1 + \sqrt{\frac{\sin(\delta + \phi') \sin(\phi' - \alpha)}{\cos(\delta + \theta) \cos(\theta - \alpha)}} \right]^2}$$

$$K_p = \frac{\cos^2(\phi' + \theta)}{\cos^2 \theta \cos(\delta - \theta) \left[ 1 - \sqrt{\frac{\sin(\phi' + \delta') \sin(\phi' + \alpha)}{\cos(\delta - \theta) \cos(\alpha - \theta)}} \right]^2}$$

## Teori Coulomb:

- (1) tanah di belakang dinding penahan tanah homogen dan berupa tanah berpasir,
- (2) permukaan runtuh merupakan suatu bidang,
- (3) blok (wedge) antara dinding dan permukaan runtuh merupakan bahan yang kaku,
- (4) berat blok, reaksi tanah dan reaksi dinding berada dalam keseimbangan.

Resultan gaya yang bekerja pada blok runtuh:

$$\frac{W}{\sin(90 + \theta + \delta - \beta + \phi')} = \frac{P_a}{\sin(\beta - \phi')}$$

$$P_a = \frac{\sin(\beta - \phi')}{\sin(90 + \theta + \delta - \beta + \phi')}(W)$$

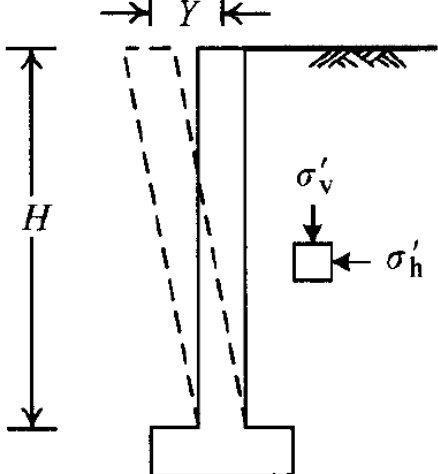
$$P_a = \frac{1}{2} \gamma H^2 \left[ \frac{\cos(\theta - \beta) \cos(\theta - \alpha) \sin(\beta - \phi')}{\cos^2 \theta \sin(\beta - \alpha) \sin(90 + \theta + \delta - \beta + \phi')} \right]$$

$$\frac{dP_a}{d\beta} \rightarrow P_a = \frac{1}{2} K_a \gamma H^2$$

# Diskusi: Tekanan tanah dan pergerakan

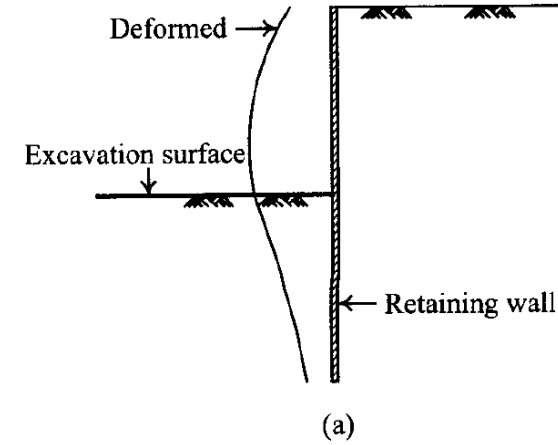
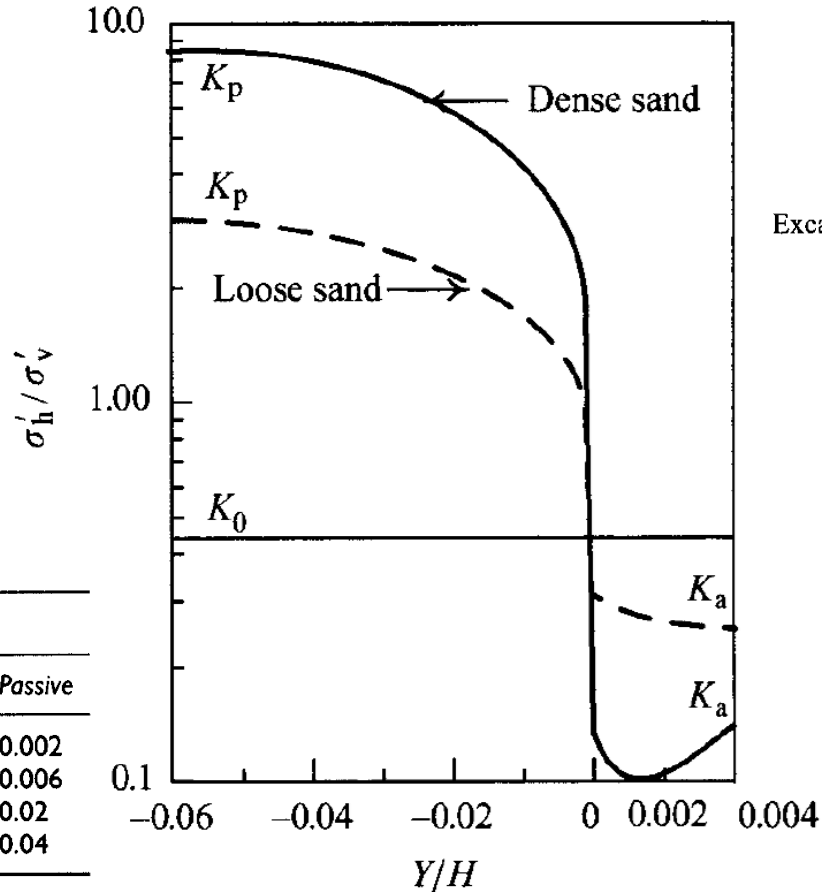
Agus S. Muntohar

# Pengaruh pergerakan dinding pada tekanan tanah

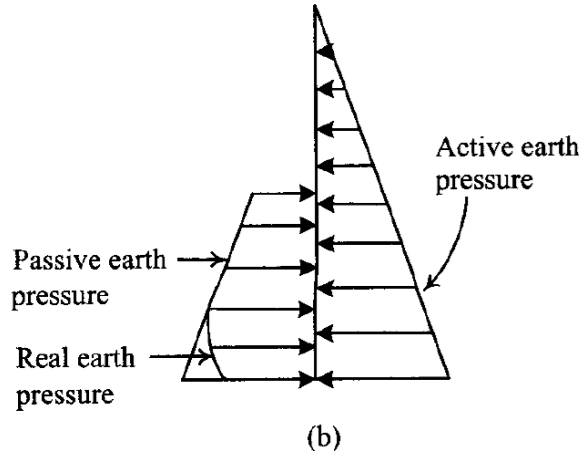


Soil type	$\gamma/H$	
	Active	Passive
Dense cohesionless	0.0005	0.002
Loose cohesionless	0.002	0.006
Stiff cohesive	0.01	0.02
Soft cohesive	0.02	0.04

( $Y$  = pergerakan lateral pada bagian atas dinding,  
 $H$  = tinggi dinding)



(a) Perilaku deformasi dinding pada galian dalam



Passive earth pressure

Real earth pressure

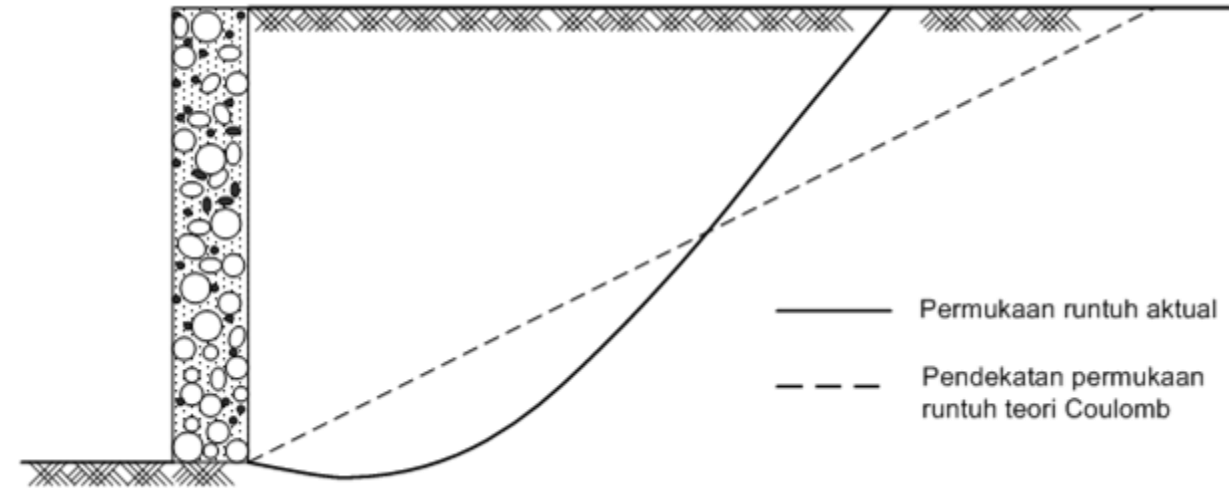
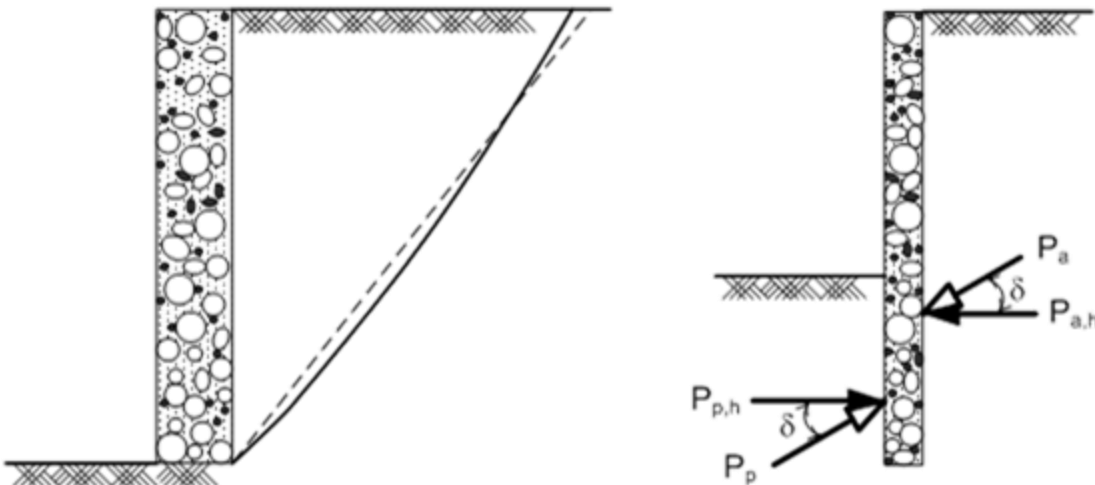
(b)

(Sumber: NAVFAC DM7.2, 1982)

# Diskusi: Perbandingan tekanan tanah Teori Rankine & Coulomb

Agus S. Muntohar

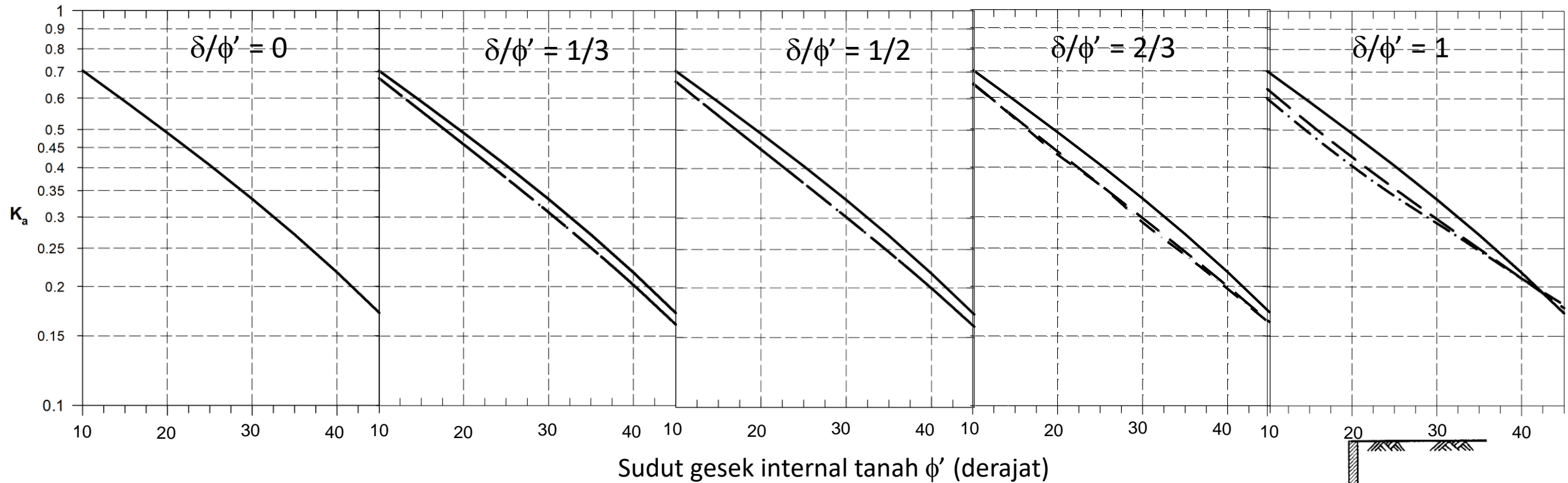
# Bidang keruntuhan



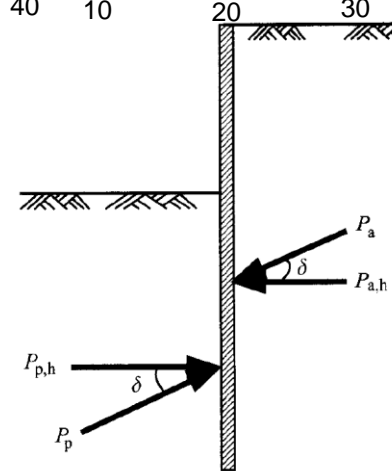
# Diskusi: Realibilitas teori tekanan tanah

Agus S. Muntohar

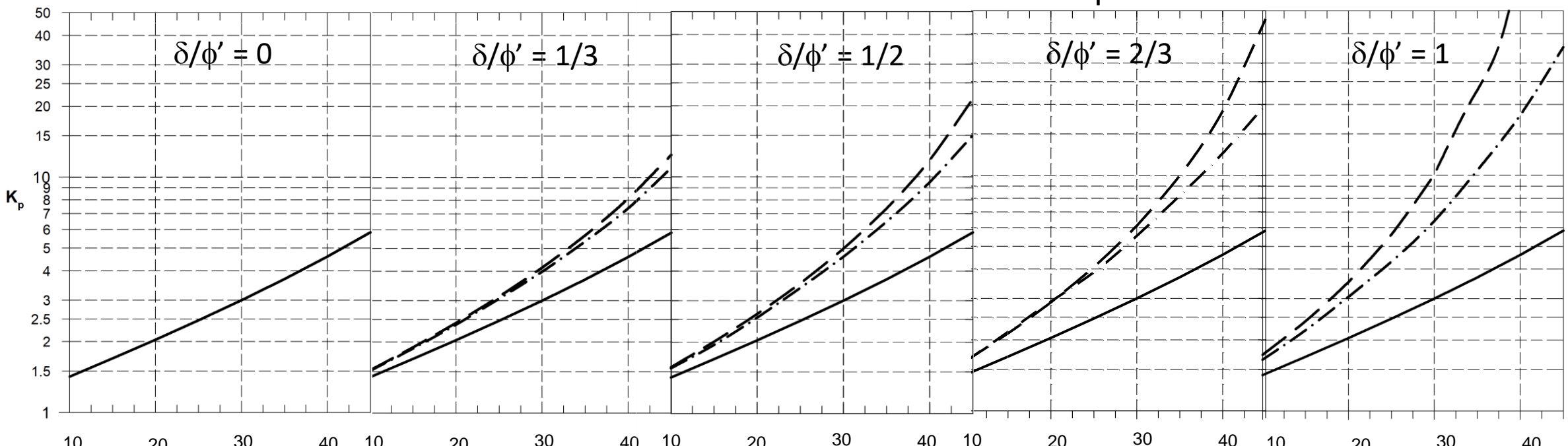
# Koefisien Tekanan Tanah Aktif ( $K_a$ )



$$K_{a,h} = K_a \cos \delta$$

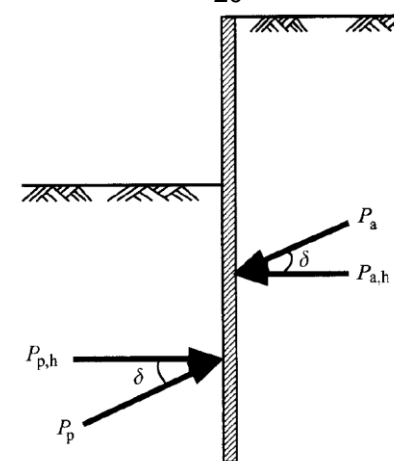


# Koefisien Tekanan Tanah Pasif ( $K_p$ )



Sudut gesek internal tanah  $\phi'$  (derajat)

— Teori Rankine    - - - Teori Coulomb    - - - Teori Caquot-Kerisel  
 $K_{p,h} = K_p \cos \delta$



“

Untuk masalah-masalah struktur galian, komponen utama yang menyebabkan keruntuhan konstruksi dinding penahan tanah adalah tekanan tanah aktif. Oleh karenanya, **tekanan tanah aktif dari Caquot-Kerisel lebih sesuai digunakan untuk analisis dan perencanaan karena model Caquot-Kerisel lebih dekat dengan permukaan keruntuhan aktual.** Teori tekanan tanah aktif Coulomb tidak terlalu jauh berbeda dengan teori Caquot-Kerisel dan masih dapat digunakan dalam analisis dan perencanaan. Akan tetapi, **jika diinginkan perencanaan yang lebih konservatif, koefisien tekanan tanah aktif Rankine sebaiknya digunakan dalam analisis dan perencanaan.**

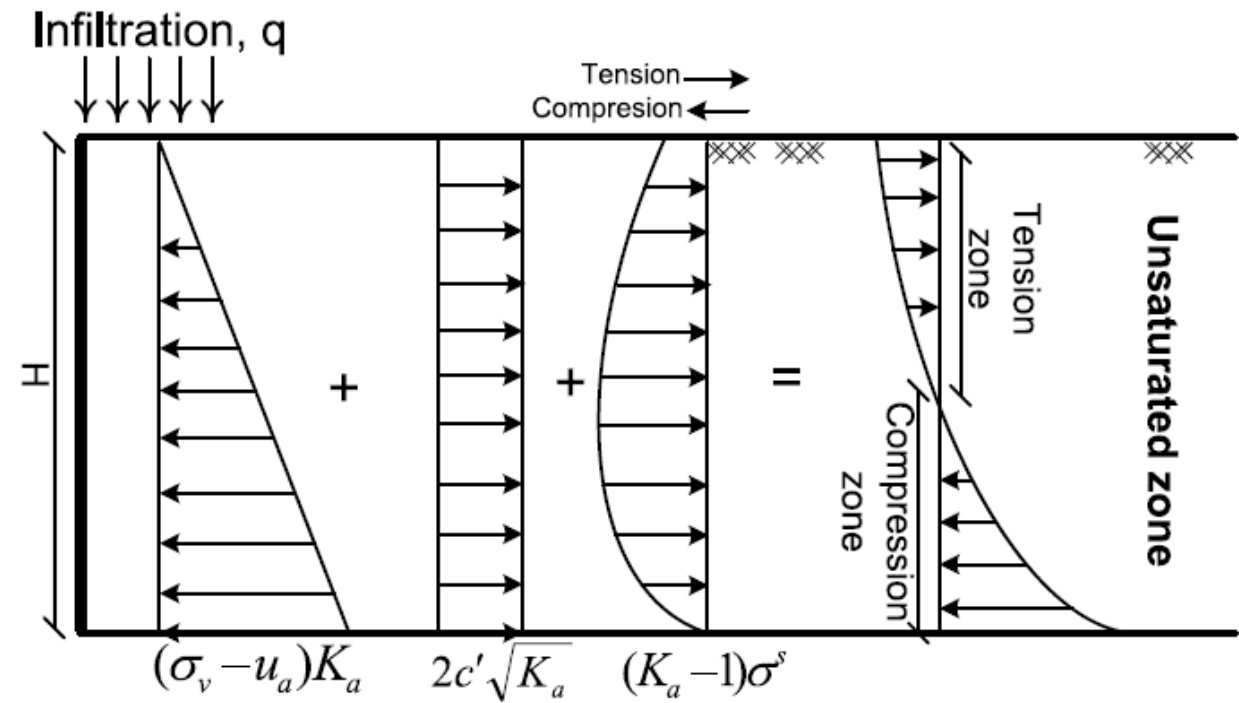
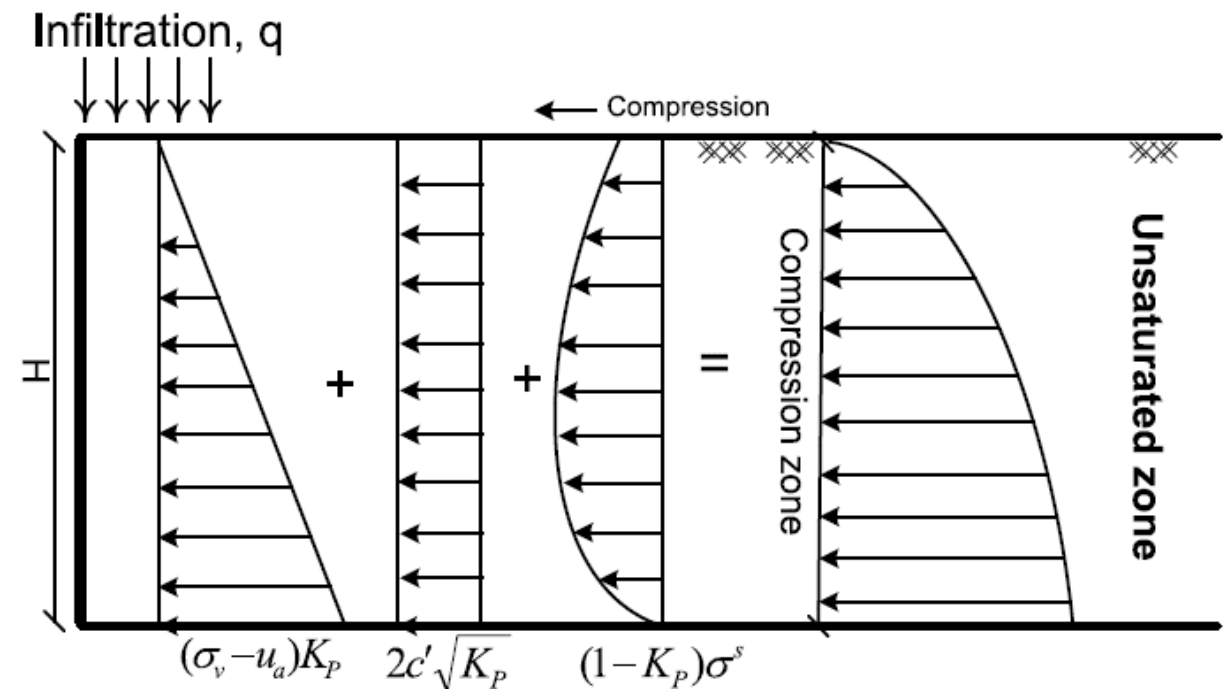
”



# Diskusi: Pengaruh infiltrasi

Agus S. Muntohar

# Pengaruh Suction Stress $\sigma^s$

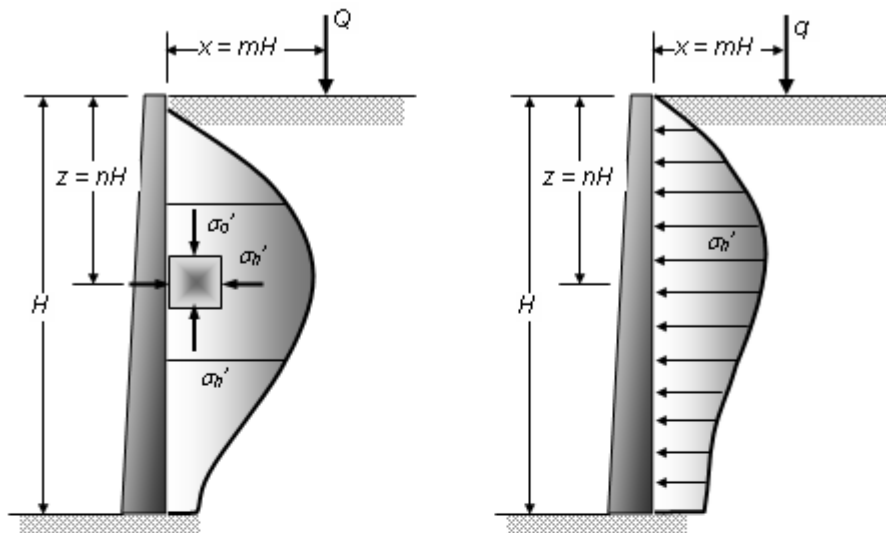


$$K_{pu} = \frac{\sigma_h - u_a}{\sigma_v - u_a} = K_p + \frac{2c' \sqrt{K_p}}{\sigma_v - u_a} - \frac{(K_p - 1)\sigma^s}{\sigma_v - u_a}$$

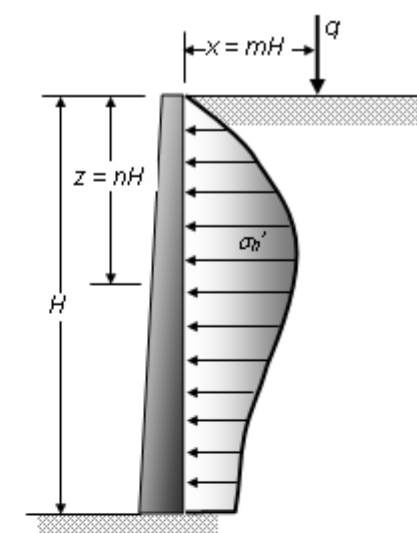
$$K_{au} = \frac{\sigma_h - u_a}{\sigma_v - u_a} = K_a - \frac{2c' \sqrt{K_a}}{\sigma_v - u_a} - \frac{(K_a - 1)\sigma^s}{\sigma_v - u_a}$$



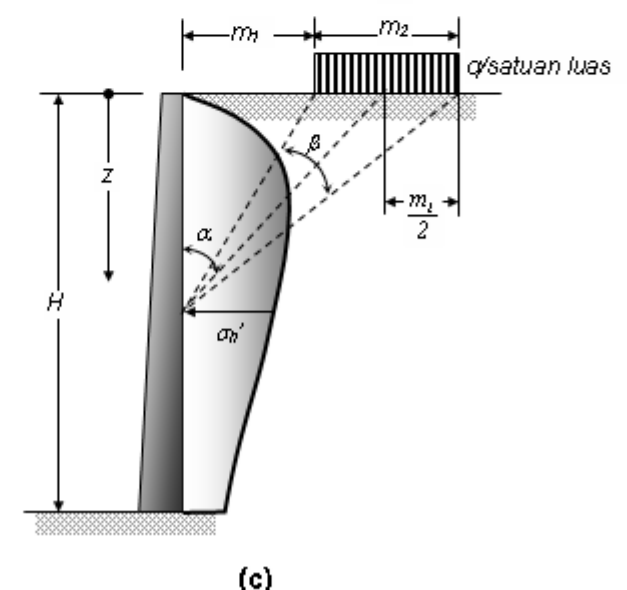
# Pengaruh Beban di Belakang Dinding



(a)



(b)



(c)



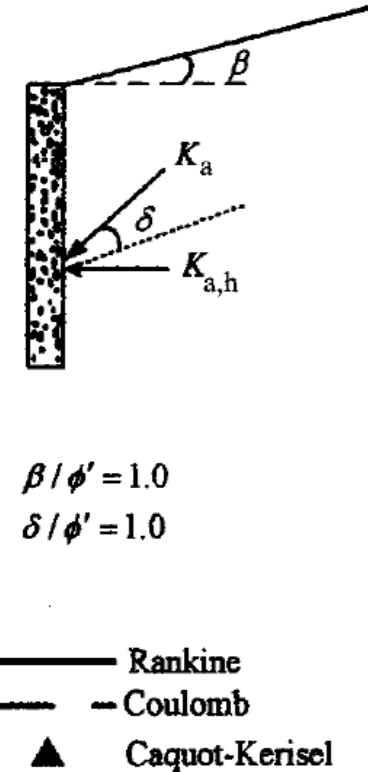
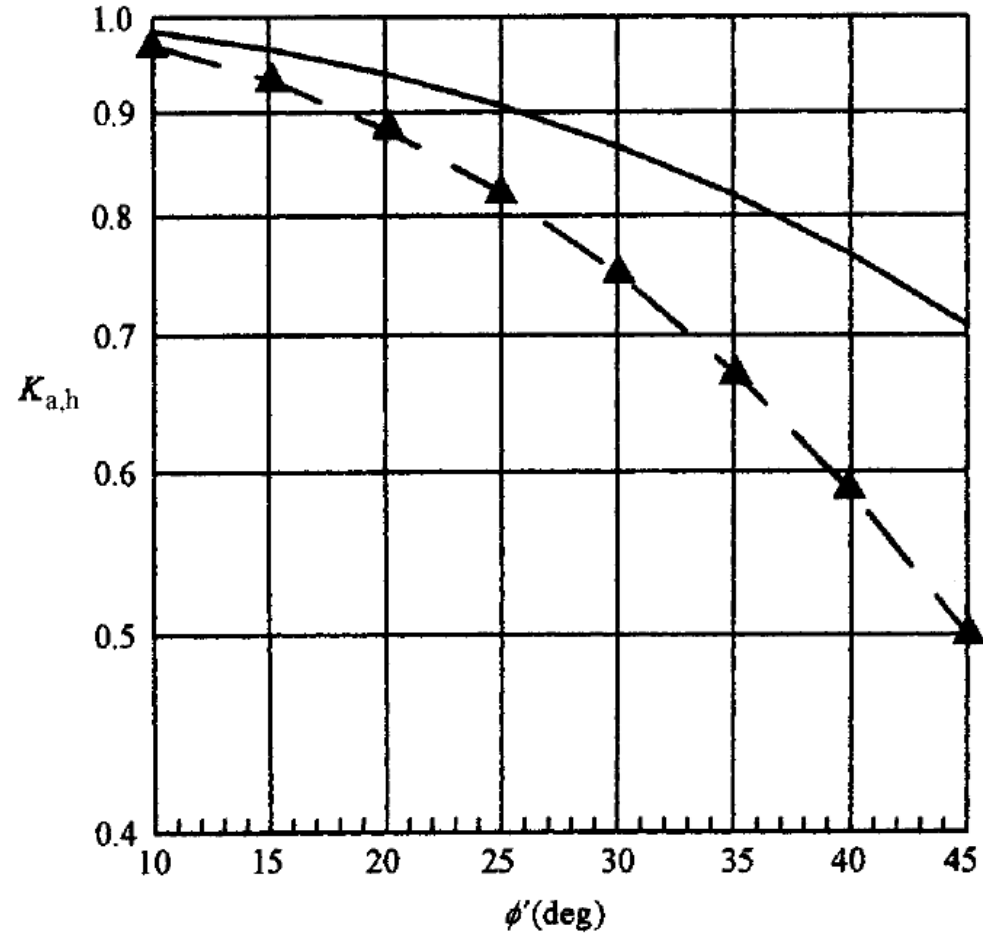
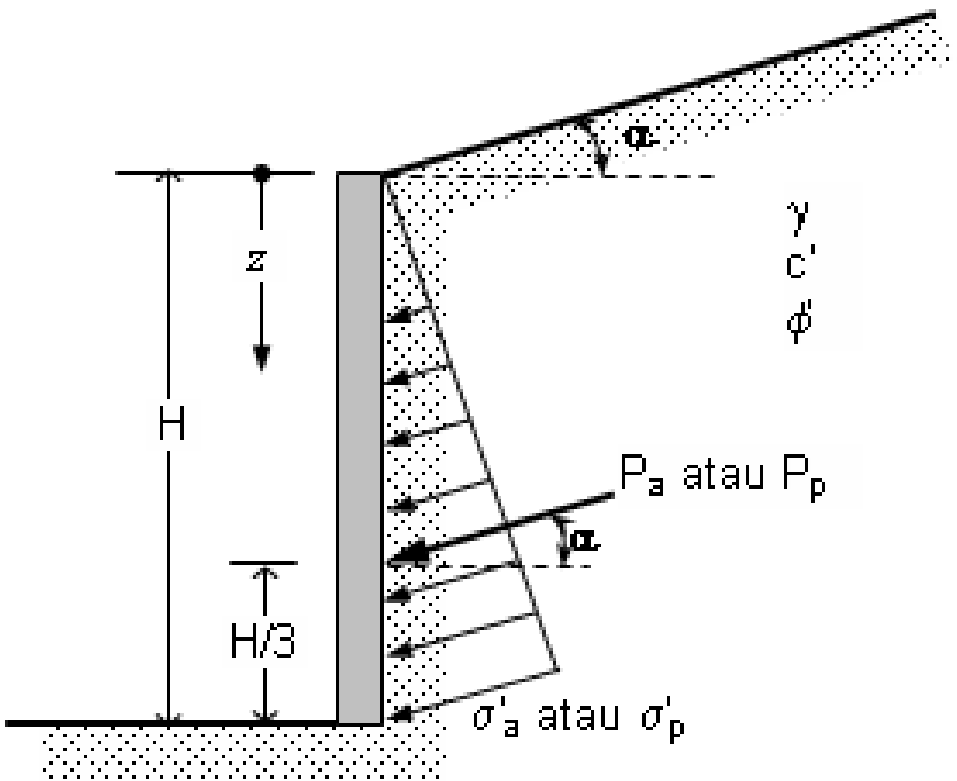
# Tekanan Tanah Lateral Akibat Permukaan Tanah Miring

Agus S. Muntohar

# Teori Rankine untuk tanah berpasir

$$K_a = \cos \alpha \left( \frac{\cos \alpha - \sqrt{\cos^2 \alpha - \cos^2 \phi'}}{\cos \alpha + \sqrt{\cos^2 \alpha - \cos^2 \phi'}} \right)$$

$$K_p = \cos \alpha \left( \frac{\cos \alpha + \sqrt{\cos^2 \alpha - \cos^2 \phi'}}{\cos \alpha - \sqrt{\cos^2 \alpha - \cos^2 \phi'}} \right)$$



# Teori Rankine untuk tanah kohesif (Mazindrani & Ganjali, 1997)

$$\sigma'_a = \gamma z K_a = \gamma z K_a'' \cos \alpha$$

$$K_a'' = \frac{1}{\cos^2 \phi'} \times \left\{ \left[ 2 \cos^2 \alpha + 2 \left( \frac{c'}{\gamma z} \right) \cos \phi' \sin \phi' \right] - \sqrt{\left[ 4 \cos^2 \alpha (\cos^2 \alpha - \cos^2 \phi') + 4 \left( \frac{c'}{\gamma z} \right)^2 \cos^2 \phi' + 8 \left( \frac{c'}{\gamma z} \right) \cos^2 \alpha \sin \phi' \cos \phi' \right]} \right\} - 1$$

$$\sigma'_p = \gamma z K_p = \gamma z K_p'' \cos \alpha$$

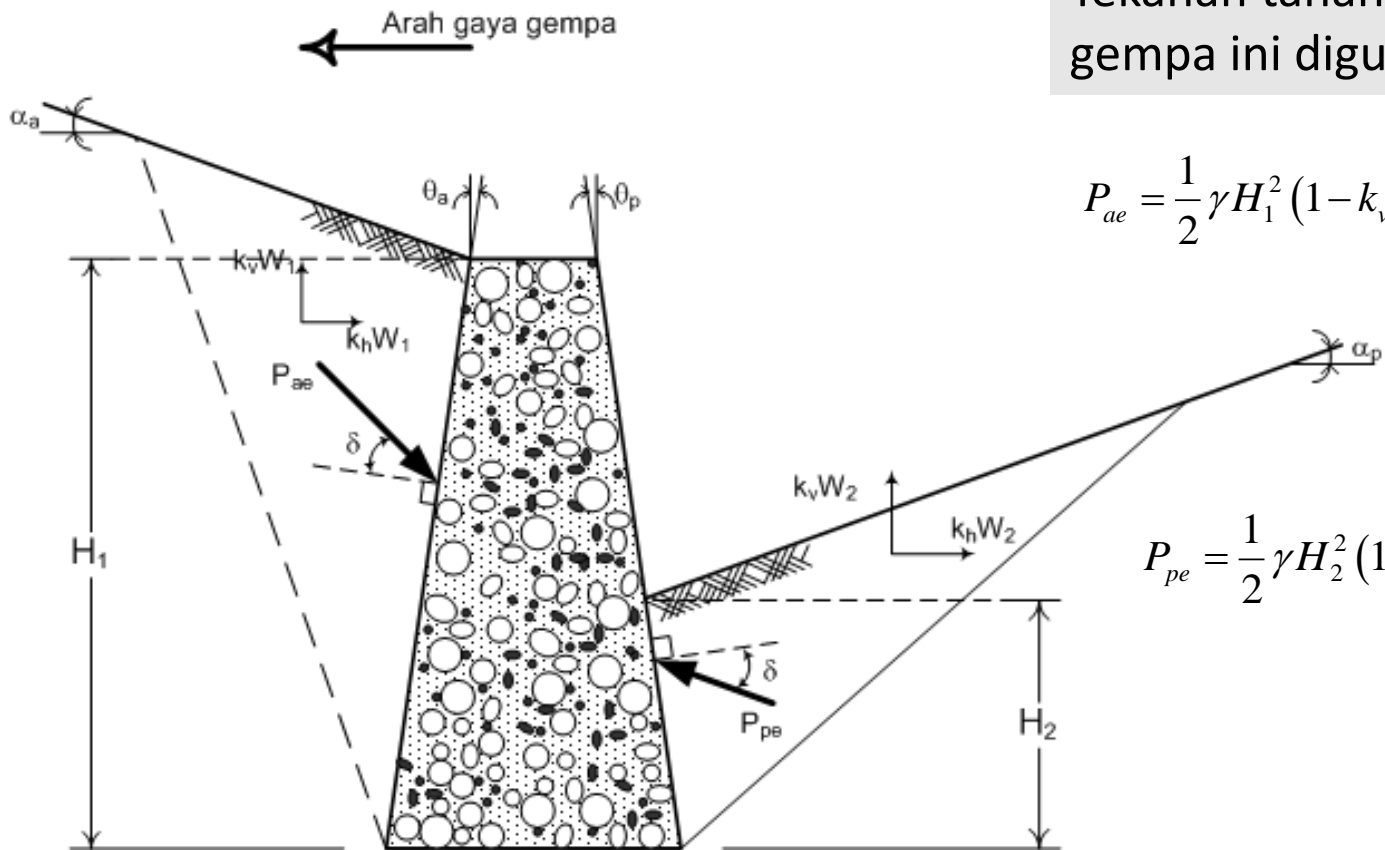
$$K_p'' = \frac{1}{\cos^2 \phi'} \times \left\{ \left[ 2 \cos^2 \alpha + 2 \left( \frac{c'}{\gamma z} \right) \cos \phi' \sin \phi' \right] + \sqrt{\left[ 4 \cos^2 \alpha (\cos^2 \alpha - \cos^2 \phi') + 4 \left( \frac{c'}{\gamma z} \right)^2 \cos^2 \phi' + 8 \left( \frac{c'}{\gamma z} \right) \cos^2 \alpha \sin \phi' \cos \phi' \right]} \right\} - 1$$



# Tekanan Tanah Lateral Akibat Gempa

Agus S. Muntohar

Tekanan tanah aktif dan pasif karena pengaruh gaya gempa ini digunakan persamaan **Mononobe – Okabe**



$$P_{ae} = \frac{1}{2} \gamma H_1^2 (1 - k_v) K_a$$

$$K_a = \frac{\cos^2(\phi - \theta_a - \psi)}{\cos \psi \cos^2 \theta_a (\delta + \theta_a + \psi) \left\{ 1 + \left[ \frac{\sin(\phi + \delta) \sin(\phi - \alpha_a - \psi)}{\cos(\delta + \theta_a + \psi) \cos(\alpha_a - \theta_a)} \right]^{\frac{1}{2}} \right\}^2}$$

$$P_{pe} = \frac{1}{2} \gamma H_2^2 (1 - k_v) K_p$$

$$K_p = \frac{\cos^2(\phi - \theta_p - \psi)}{\cos \psi \cos^2 \theta_p (\delta - \theta_p + \psi) \left\{ 1 + \left[ \frac{\sin(\phi + \delta) \sin(\phi + \alpha_p - \psi)}{\cos(\delta - \theta_p + \psi) \cos(\alpha_p - \theta_p)} \right]^{\frac{1}{2}} \right\}^2}$$

$W_1$  : berat blok dalam zona aktif

$W_2$  : berat blok dalam zona pasif

$$\psi = \tan^{-1} \left[ \frac{k_h}{(1 - k_v)} \right] \quad k_h = \frac{a_h}{g} \quad k_v = \frac{a_v}{g}$$



# Terima Kasih

[muntohar@umy.ac.id](mailto:muntohar@umy.ac.id)